

**ČESKÉ VYSOKÉ UČENÍ TECHNICKÉ V PRAZE**  
CZECH TECHNICAL UNIVERSITY IN PRAGUE

**FAKULTA STAVEBNÍ**  
FACULTY OF CIVIL ENGINEERING



**OCELOVÁ KONSTRUKCE POLYFUNKČNÍHO DOMU V JUNGMANNOVĚ  
ULICI V PRAZE**  
VARIANTNÍ ŘEŠENÍ

**DIPLOMOVÁ PRÁCE**  
DIPLOMA THESIS

**AUTOR PRÁCE**

**Bc. Veronika Rybářová**

**VEDOUCÍ PRÁCE**

**Ing. Zdeněk Sokol, Ph.D.**

## Úvod

Cílem této části diplomové práce je nalezení optimálního řešení ocelového konstrukčního systému polyfunkční budovy. Kritéria při hodnocení byla rozměr navržených průřezů ovlivňujících čistou výšku podlaží, cena navrhované konstrukce, doba montáže, architektonické požadavky a snadné přizpůsobení budovy při změně jejího využití.

Byly zvoleny dvě základní varianty lišící se osovými vzdálenostmi sloupů a rozpony průvlaků a stropnic. Varianta 1 kopíruje rozmístění nosných prvků původního návrhu železobetonového konstrukčního systému. Vzhledem k rozponům od 4 do 7 metrů umožňuje tato varianta navrhnout menší průřezy nosných prvků, avšak půdorys není tolik variabilní. Varianta 2 naopak dovoluje uvolnit a provzdušnit půdorys, jehož adaptace na případnou změnu využití stavby by byla snazší. Průřezy nosných prvků jsou však masivnější, vzhledem k až 11 metrovým rozponům.

Varianta 2 je pak navíc předběžně navržena z prolamovaných válcovaných nosníků zmenšujících jejich průhyby. Prolamované nosníky umožňují vést rozvody instalací skrze jejich otvory, čímž se eliminuje navýšení konstrukce, ale samotná výška průřezu prolamovaného nosníku je zpravidla větší než nosníku plného válcovaného. Plné válcované nosníky jsou menších výšek, ale je zapotřebí navrhnout ve skladbě vodorovných konstrukcí instalační mezeru. Je nutné posoudit, která z možností – prolamovaný nosník bez instalační mezery či plný nosník s instalační mezerou – bude lépe vyhovovat požadavkům na stávající konstrukční výšku podlaží odvíjející se od rozmístění oken v zachovávané fasádě.

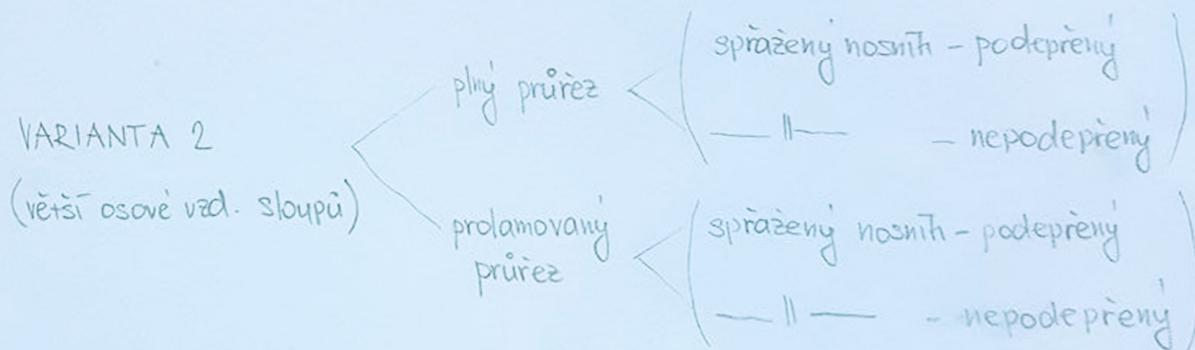
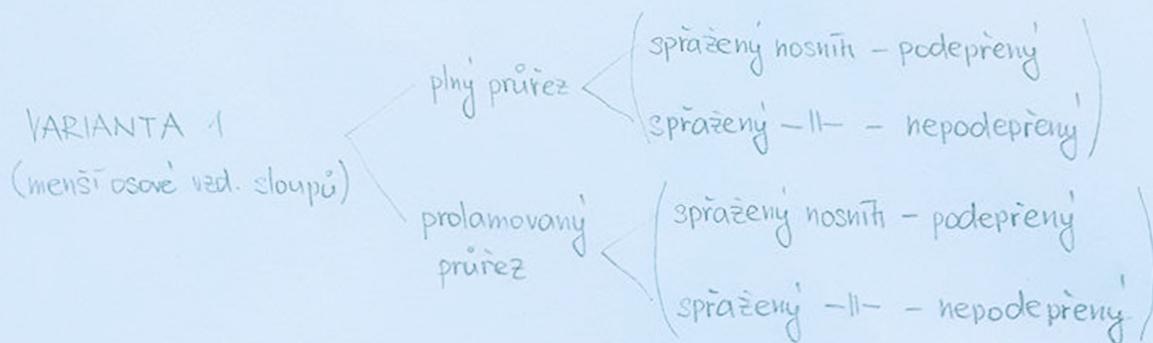
Dalším kritériem potřebujícím zhodnocení je rozdělení nosníků na podepřené a nepodepřené během montáže. U podepřného nosníku není nutné uvažovat montážní zatížení např. od hromady betonové směsi při betonáži ocelobetonové spřažené stropní desky, jelikož nosníky jsou v době montáže opatřeny stojkami přenášejícími toto zatížení a eliminujícími průhyby. Je však zapotřebí uvažovat vyšší cenu, která se odvíjí od doby pronájmu stojek. U nepodepřného nosníku je uvažováno s montážním zatížením, které ovlivní návrh jejich výšky, ale do ceny není zahrnut pronájem stojek. Toto posouzení však bude součástí až konečného návrhu prvků nosné konstrukce.

V poslední řadě jsou řešeny dvě rozdílné materiálové varianty ztužujícího jádra obsahujícího schodišťový prostor a výtahové šachty. Varianta uvažující využití železobetonu je

vhodnější pro oblé a zakřivené tvary schodišťového prostoru. Varianta s jádrem ocelovým ale umožňuje rychlou montáž nezávislou na počasí.

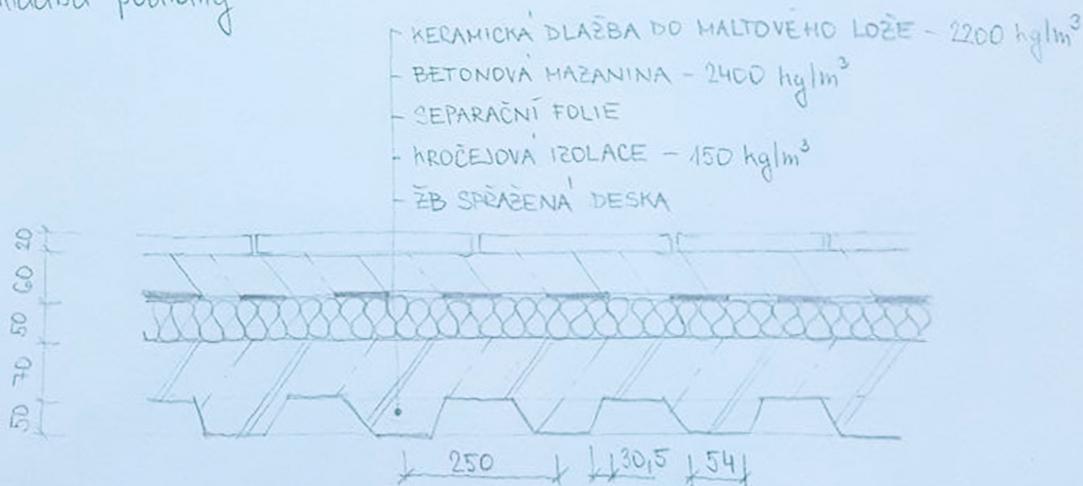
# VARIANTNÍ ŘEŠENÍ

- schéma variantních řešení



- předběžný odhad. zatížení využitý pouze pro porovnání variantních řešení

skladba podlahy



dlazba -  $2200 \cdot 0,02 = 44 \text{ kg/m}^2 = 0,44 \text{ kN/m}^2$

bet mazanina -  $2400 \cdot 0,06 = 144 \text{ kg/m}^2 = 1,44 \text{ kN/m}^2$

kročejová izolace -  $150 \cdot 0,05 = 7,5 \text{ kg/m}^2 = 0,075 \text{ kN/m}^2$

deska ŽB -  $2500 \cdot 0,07 = 175 \text{ kg/m}^2 = 1,75 \text{ kN/m}^2$

žebra ŽB -  $50 \cdot \frac{54+30,5}{250} = 16,9 \text{ mm} = 17 \text{ mm} = 0,017 \text{ m}$

= 4,225 kN/m<sup>2</sup>

$2500 \cdot 0,017 = 42,5 \text{ kg} = 0,425 \text{ kN/m}^2$

trapezový plech - 0,1 kN/m<sup>2</sup> (odhad)



**ČESKÉ VYSOKÉ UČENÍ TECHNICKÉ V PRAZE**  
CZECH TECHNICAL UNIVERSITY IN PRAGUE

**FAKULTA STAVEBNÍ**  
FACULTY OF CIVIL ENGINEERING



VARIANTA 1













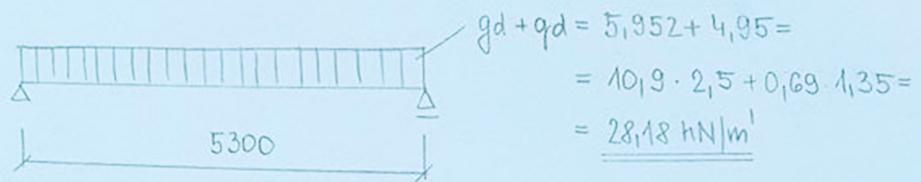


# VARIANTA 1

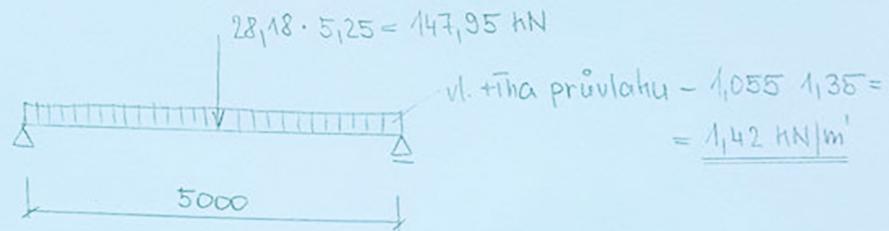
## ZATÍŽENÍ NA NOSNÉ PRVKY

### PODEPŘENÝ NOSNÍK

- stropnice



- průvlak

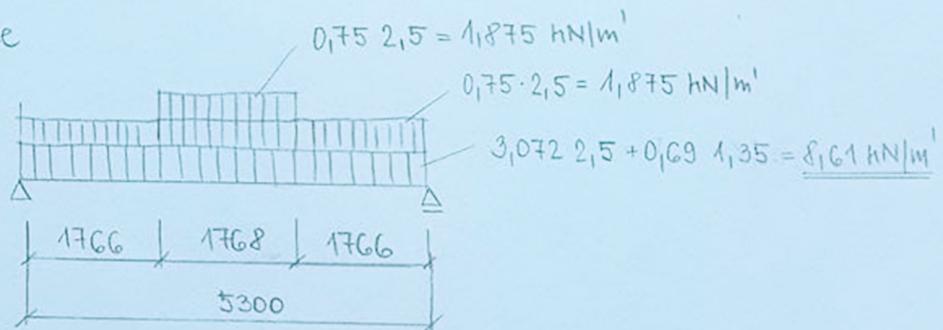


- sloup

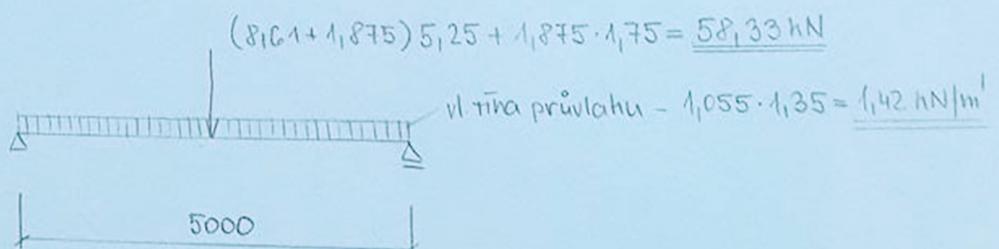
$$(5,952 + 4,95) \cdot 4,9 \cdot 5,25 + 0,69 \cdot 1,35 \cdot 5,25 + 1,055 \cdot 1,35 \cdot 4,9 +$$
$$+ 1,999 \cdot 1,35 \cdot 3,8 = 302,57 \cdot 7 = \underline{\underline{2118,05 \text{ kN}}}$$

### NEPODEPŘENÝ NOSNÍK - montážní zatížení

- stropnice



- průvlak



# Předběžné posouzení ocelobetonového průřezu - STROPNICE

## 1. Průřezové charakteristiky

Profil	IPE 200	Ocel	S 235	$f_y$ =	235	MPa
		Beton	C 20/25	$f_c$ =	20	MPa
A =	2848,41 mm <sup>2</sup>	$W_{pl,y}$ =	220638,65 mm <sup>3</sup>			
Avz =	1400,00 mm <sup>2</sup>	h =	200 mm			
$\gamma_{M0}$ =	1,00					
$\gamma_c$ =	1,50					

## 2. Vnitřní síly

$$V_{Ed} = 74,68 \text{ kN}$$
$$M_{Ed} = 98,95 \text{ kNm}$$

## 3. Geometrie

$$L1 = 2,50 \text{ m}$$
$$L2 = 2,50 \text{ m}$$

## 4. Efektivní šířka, poloha N.O.

$$b_{eff} = 0,25 * (L_1 + L_2) \quad b_{eff} = 1250 \text{ mm}$$

$$b_{eff} * x * \frac{0,85 * f_{ck}}{\gamma_c} = A * \frac{f_{yk}}{\gamma_{M0}} \Rightarrow x = \frac{A * f_{yk} * \gamma_c}{\gamma_{M0} * 0,85 * b_{eff} * f_{ck}}$$

$$x = 47,25 \text{ mm} \leq 70,00 \text{ mm} \quad \text{N.O. JE V ŽB DESCE}$$

$$z = \frac{h}{2} + 50 + (70 - x) \quad z = 172,7499 \text{ mm}$$

## 5. Návrhový moment

$$M_{pl,Rd} = A * \frac{f_{yk}}{\gamma_{M0}} * z \quad M_{pl,Rd} = 115,63 \text{ kNm}$$

## 5. Posouzení MSÚ - moment

$$M_{pl,Rd} \geq M_{Ed} \quad \boxed{115,63 \text{ kNm} \geq 98,95 \text{ kNm} \quad \text{VYHOVUJE}}$$

## 6. Návrhová únosnost ve smyku

$$V_{pl,Rd} = A_{vz} * \frac{f_{yk}}{\gamma_{M0} * \sqrt{3}} \quad V_{pl,Rd} = 189,95 \text{ kN}$$

## 7. Posouzení MSÚ - posouvající síly

$$V_{pl,Rd} \geq V_{Ed} \quad \boxed{189,95 \text{ kN} \geq 74,68 \text{ kN} \quad \text{VYHOVUJE}}$$

# Předběžné posouzení ocelobetonového průřezu - PRŮVLAK

## 1. Průřezové charakteristiky

Profil	IPE 240	Ocel	S 235	$f_y$ =	235	MPa
		Beton	C 20/25	$f_c$ =	20	MPa
A =	3911,62 mm <sup>2</sup>	$W_{pl,y}$ =	366645,33 mm <sup>3</sup>			
Avz =	1914,00 mm <sup>2</sup>	h =	240 mm			
$\gamma_{M0}$ =	1,00					
$\gamma_c$ =	1,50					

## 2. Vnitřní síly

$$V_{Ed} = 75,60 \text{ kN}$$
$$M_{Ed} = 186,97 \text{ kNm}$$

## 3. Geometrie

$$L1 = 5,30 \text{ m}$$
$$L2 = 5,20 \text{ m}$$

## 4. Efektivní šířka, poloha N.O.

$$b_{eff} = 0,25 * (L_1 + L_2) \quad b_{eff} = 2625 \text{ mm}$$

$$b_{eff} * x * \frac{0,85 * f_{ck}}{\gamma_c} = A * \frac{f_{yk}}{\gamma_{M0}} \Rightarrow x = \frac{A * f_{yk} * \gamma_c}{\gamma_{M0} * 0,85 * b_{eff} * f_{ck}}$$

$$x = 30,90 \text{ mm} \leq 70,00 \text{ mm} \quad \text{N.O. JE V ŽB DESCE}$$

$$z = \frac{h}{2} + 50 + (70 - x) \quad z = 209,1015 \text{ mm}$$

## 5. Návrhový moment

$$M_{pl,Rd} = A * \frac{f_{yk}}{\gamma_{M0}} * z \quad M_{pl,Rd} = 192,21 \text{ kNm}$$

## 5. Posouzení MSÚ - moment

$$M_{pl,Rd} \geq M_{Ed} \quad \boxed{192,21 \text{ kNm} \geq 186,97 \text{ kNm} \quad \text{VYHOVUJE}}$$

## 6. Návrhová únosnost ve smyku

$$V_{pl,Rd} = A_{vz} * \frac{f_{yk}}{\gamma_{M0} * \sqrt{3}} \quad V_{pl,Rd} = 259,69 \text{ kN}$$

## 7. Posouzení MSÚ - posouvající síly

$$V_{pl,Rd} \geq V_{Ed} \quad \boxed{259,69 \text{ kN} \geq 75,6 \text{ kN} \quad \text{VYHOVUJE}}$$

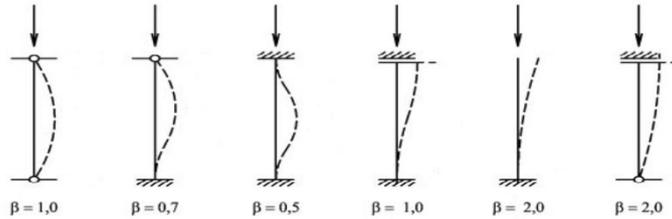
# Předběžné posouzení sloupu na vzpěrný tlak

## 1. Průřezové charakteristiky

Profil	HEB 280	Ocel	S 235	fy=	235	Mpa
A =	13136,44 mm <sup>2</sup>	I <sub>y</sub> =	1,927E+08 mm <sup>4</sup>	I <sub>z</sub> =	6,595E+07 mm <sup>4</sup>	
b =	280 mm	W <sub>y</sub> =	1,376E+06 mm <sup>3</sup>	W <sub>z</sub> =	4,710E+05 mm <sup>3</sup>	
h =	244,00 mm	W <sub>pl,y</sub> =	1,534E+06 mm <sup>3</sup>	W <sub>pl,z</sub> =	7,176E+05 mm <sup>3</sup>	
t <sub>w</sub> =	10,50 mm	i <sub>y</sub> =	1,211E+02 mm	i <sub>z</sub> =	7,085E+01 mm	
t <sub>f</sub> =	18,00 mm	I <sub>w</sub> =	1,130E+12 mm <sup>6</sup>	I <sub>t</sub> =	1,437E+06 mm <sup>4</sup>	
r =	24,00 mm	Y <sub>M1</sub> =	1,00	Y <sub>M2</sub> =	1,25	
Y <sub>M0</sub> =	1,00					

## 2. Délka prvku

L <sub>y</sub> =	4050 mm
L <sub>z</sub> =	4050 mm
β <sub>y</sub> =	1
β <sub>z</sub> =	1
L <sub>cr,i</sub> = β <sub>i</sub> L <sub>i</sub>	
L <sub>cr,y</sub> =	4050 mm
L <sub>cr,z</sub> =	4050 mm



## 3. Vnitřní síly

N<sub>Ed</sub> = 2118,05 kN

## 4. Štíhlost

$\lambda_i = \frac{L_{cr,i}}{i_i}$	$\lambda_y = 3,344E+01$	$\bar{\lambda}_y = 3,561E-01$	$\chi_y = 0,943$
	$\lambda_z = 5,716E+01$	$\bar{\lambda}_z = 6,087E-01$	$\chi_z = 0,779$
$\lambda_1 = 93,9 \sqrt{\frac{235}{f_y}}$	$\lambda_1 = 93,90$		

## 5. Návrhová vzpěrná únosnost tlaččeného prutu

$N_{b,Rd,i} = \frac{\chi A f_y}{\gamma_{M1}}$	N <sub>b,Rd,y</sub> = 2911,10 kN	N <sub>b,Rd</sub> = min(N <sub>b,Rd,y</sub> ; N <sub>b,Rd,z</sub> )
	N <sub>b,Rd,z</sub> = 2404,82 kN	N <sub>b,Rd</sub> = 2404,82 kN

## 6. Posouzení

$\frac{N_{Ed}}{N_{b,Rd,min}} \leq 1,0$

0,881 ≤ 1,0 VYHOVUJE
----------------------



**ČESKÉ VYSOKÉ UČENÍ TECHNICKÉ V PRAZE**  
CZECH TECHNICAL UNIVERSITY IN PRAGUE

**FAKULTA STAVEBNÍ**  
FACULTY OF CIVIL ENGINEERING



VARIANTA 2











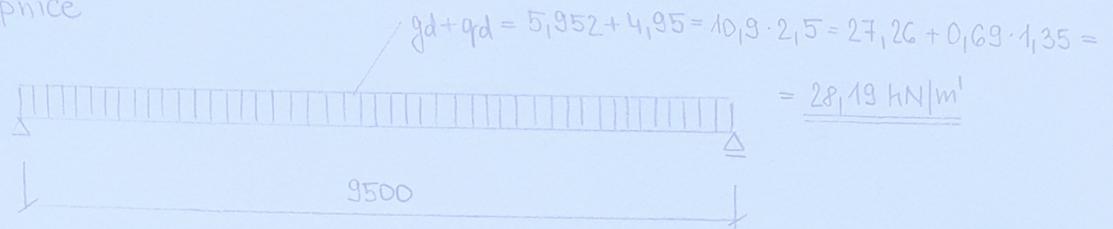


## VARIANTA 2

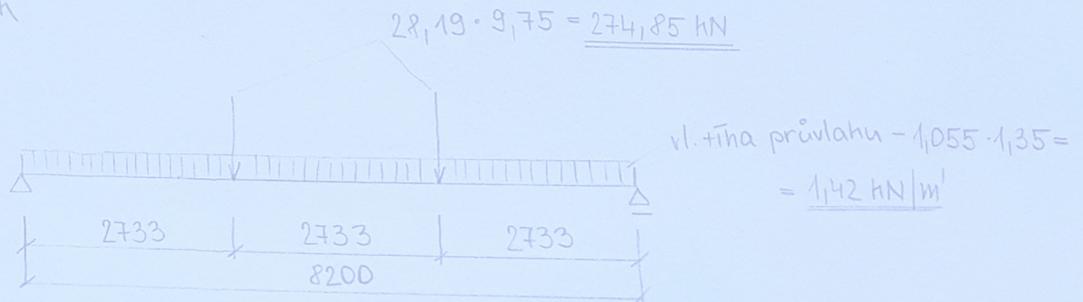
### ZATÍŽENÍ NA NOSNÉ PRVKY

#### PODEPŘENÝ NOSNÍK

- stropnice



- průvlak

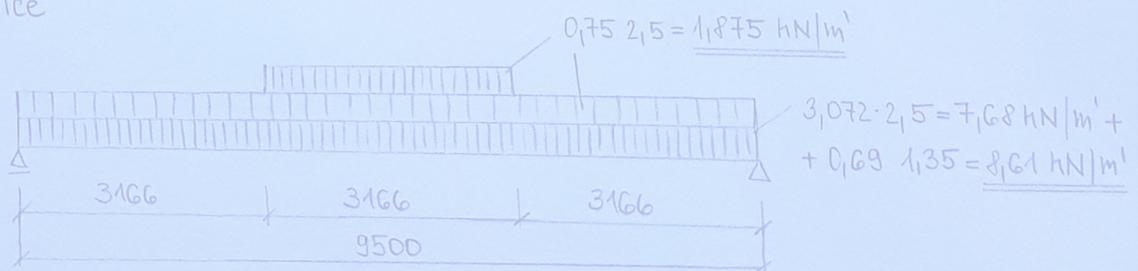


- sloup

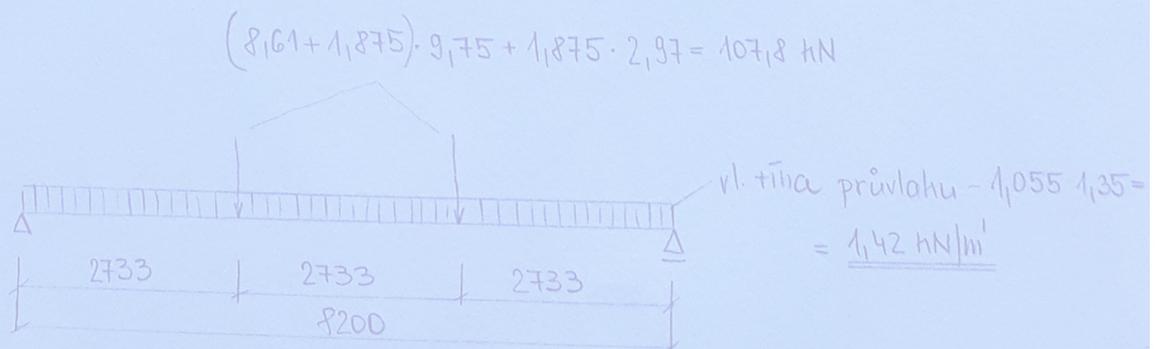
$$10,9 \cdot 9,75 \cdot 6,6 + 1,055 \cdot 6,6 \cdot 1,35 + 0,69 \cdot 1,35 \cdot 9,75 \cdot 3 + 1,999 \cdot 1,35 \cdot 3,8 =$$
$$= 747,46 \cdot 7 = \underline{\underline{5232,23 \text{ kN}}}$$

#### NEPODEPŘENÝ NOSNÍK - montážní zatížení

- stropnice



- průvlak



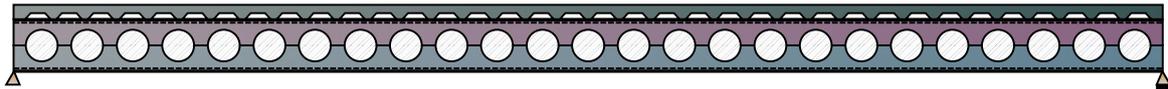


**ACB+**

V 3.15

## PRELIMINARY DESIGN NOTE

### Stropnice - var. 2



User : Veronika Rybářová

Company : FSv

Project : Diplomová práce

Beam Ident : Stropnice - var. 2

Comment :

File : C:\Users\Veronika\Documents\Škola\Diplomová práce\Moje řešení\2. Variantní řešení\Živě\2. varianta - stropnice.acb

**Parameters**

**General Parameters**

**Composite Beam**

Cutting :  
End supports :

**Process ArcelorMittal Cellular Beam**

Simply supported beam

Horizontal span length :  $L = 9,500 \text{ m}$   
 Total number of openings :  $n = 25$   
 Diameter of the openings :  $a_0 = 263,5 \text{ mm}$   
 Spacing between openings center :  $e = 376,5 \text{ mm}$   
 Web post width :  $w = e - a_0 = 113,0 \text{ mm}$   
 Web post slenderness :  $\alpha = e / a_0 = 1,429$   
 End web posts widths :  $w_{\text{end,l}} = 100,3 \text{ mm}$      $w_{\text{end,r}} = 100,2 \text{ mm}$   
 Height of the cellular beam :  $H_t = 440,1 \text{ mm}$

Mass of steel beam :  $m = 448 \text{ kg}$   
 Mass of concrete slab :  $m = 5031 \text{ kg}$     (Slab width = 2,500 m)  
 Mass of the steel sheeting :  $m = 0 \text{ kg}$   
 Total mass of the beam :  $m = 5480 \text{ kg}$   
 Total paint surface :  $S = 11,59 \text{ m}^2$   
 Paint surface (without upper face) :  $S' = 10,07 \text{ m}^2$

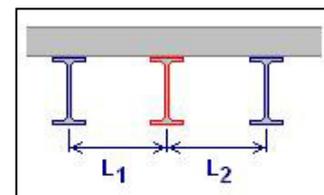
Massiveness :  $M = 202,98 \text{ m}^{-1}$   
 Massiveness (without upper face) :  $M' = 176,36 \text{ m}^{-1}$

Ratio of flanges area :  $(b_f t_f)_{\text{max}} / (b_f t_f)_{\text{min}} = 1,00 < 4,50$   
 Ratio  $H_t / a_0$  :  $H_t / a_0 = 1,67$      $1,25 < H_t / a_0 < 4,00$   
 Opening slenderness :  $\beta = a_0 / t_w = 35,13 < 90,00$   
 Web slenderness :  $h_w / t_w = 50,81 < 124,0 \varepsilon_w = 100,9$

**Position of the beam**

The studied beam is an intermediate beam.

Spacing of the beam - to the adjacent left beam :  $L_1 = 2,500 \text{ m}$   
 - to the adjacent right beam :  $L_2 = 2,500 \text{ m}$



Width for the calculation of the surface loads supported by the beam :  
 on the left side :  $d_1 = 1,250 \text{ m}$   
 on the right side :  $d_2 = 1,250 \text{ m}$   
 Total width :  $d_1 + d_2 = 2,500 \text{ m}$

No slab opening near the beam

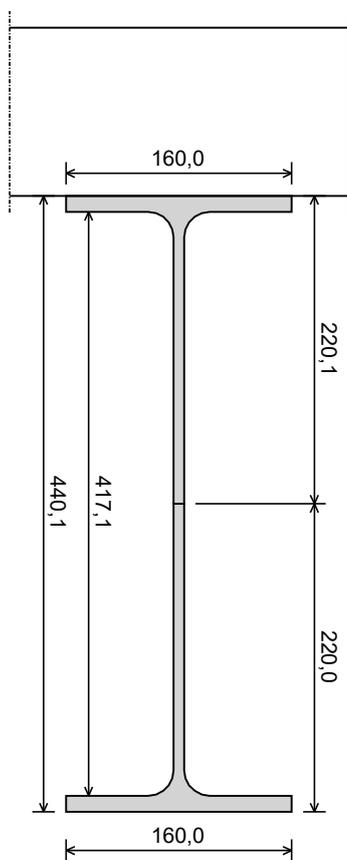
**Lateral restraint**

Concentrated lateral restraints :

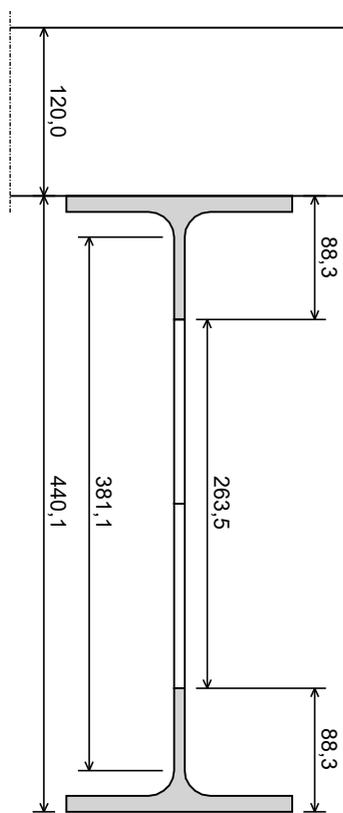
	x (m)	Lateral restraints	
1	0,0	Both flanges	Origin section
2	9,500	Both flanges	End section

**Cross-section**

	Upper chord	Lower chord
Base profile	IPE 330	IPE 330
Grade	S355	S355
$h_t$ (mm)	330,0	330,0
$b_f$ (mm)	160,0	160,0
$t_f$ (mm)	11,5	11,5
$t_w$ (mm)	7,5	7,5
$r_c$ (mm)	18,0	18,0



Cross-section at web-post



Cross-section at opening no 1

**ULTIMATE LIMIT STATES - COMPOSITE ACTION STAGE****Note: the calculation method applies to steel rolled profiles only.****Summary of the criteria****Degree of connection**

Minimal degree of connection = 0,535

Most unfavorable degree of connection (Comb. U1) : = 0,648 &gt; 0,535 Satisfactory

S = Satisfactory NS = Not satisfactory

**Checkings of net sections at openings**

Resistance to bending moment (Open. no 1 - Comb. U1) :	$\Gamma_{M,max}$	= 0,428	< 1	S
Resistance to normal force (Open. no 12 - Comb. U1) :	$\Gamma_{N,max}$	= 0,776	< 1	S
Resistance to shear force (Open. no 10 - Comb. U1) :	$\Gamma_{V,max}$	= 0,635	< 1	S
Resistance to M+N interaction (Open. no 9 - Comb. U1) :	$\Gamma_{MN,max}$	= 0,814	< 1	S
Resistance to N+V interaction (Open. no 12 - Comb. U1) :	$\Gamma_{NV,max}$	= 0,776	< 1	S
Resistance to M+V interaction (Open. no 1 - Comb. U1) :	$\Gamma_{MV,max}$	= 0,428	< 1	S
Resistance to M+N+V interaction (Open. no 9 - Comb. U1) :	$\Gamma_{MNV,max}$	= 0,814	< 1	S

**Web checkings**

Shear buckling check required (Post no 1 - Comb. U1) :	$\Gamma_{Vbw,max}$	= 0,225	< 1	S
--	--------------------	---------	-----	---

**Posts checkings**

Resistance to shear (Post no 1 - Comb. U1) :	$\Gamma_{Vh,max}$	= 0,727	< 1	S
Resistance to buckling (Post no 1 - Comb. U1) :	$\Gamma_{b,max}$	= 0,686	< 1	S
Minimum throat thickness (Post no 1 - Comb. U1) :	$a_{min}$	= 2,32 mm		

Warning: the throat thickness is assessed by assuming two welds

The total thickness of welds should be at least 4,63 mm

Warning : the throat thickness of the fillet weld must be at least 3 mm (EC3)

**Gross sections checkings**

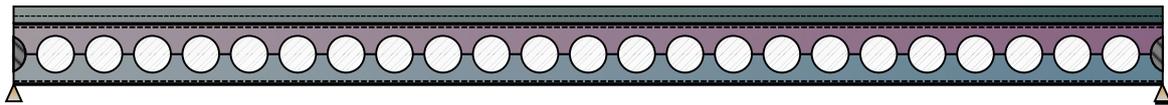
Resistance to bending (Post no 11 - Comb. U1) :	$\Gamma_{Mg,max}$	= 0,601 (Classe 1)	< 1	S
Resistance to shear (Left end - Comb. U1) :	$\Gamma_{Vg,max}$	= 0,207	< 1	S

**ACB+**

V 3.15

## PRELIMINARY DESIGN NOTE

Průvlak - var. 2



User : Veronika Rybářová

Company : FSv

Project : Diplomová práce

Beam Ident : Průvlak - var. 2

Comment :

File : C:\Users\Veronika\Documents\Škola\Diplomová práce\Moje řešení\2. Variantní řešení\Živě\2. varianta - průvlak.acb

## Parameters

### General Parameters

#### Composite Beam

Cutting :

End supports :

Horizontal span length :

Total number of openings :

Diameter of the openings :

Spacing between openings center :

Web post width :

Web post slenderness :

End web posts widths :

Height of the cellular beam :

Mass of steel beam :

Mass of concrete slab :

Mass of the steel sheeting :

Total mass of the beam :

Total paint surface :

Paint surface (without upper face) :

Massiveness :

Massiveness (without upper face) :

Ratio of flanges area :

Ratio  $H_t / a_0$  :

Opening slenderness :

Web slenderness :

#### Process ArcelorMittal Cellular Beam

Simply supported beam

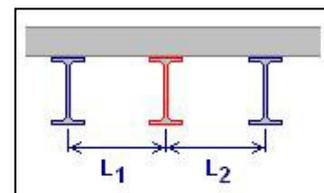
 $L = 8,200$  m $n = 23$  $a_0 = 263,5$  mm $e = 345,5$  mm $w = e - a_0 = 82,0$  mm $\alpha = e / a_0 = 1,311$  $w_{\text{end,l}} = 167,8$  mm     $w_{\text{end,r}} = 167,7$  mm $H_t = 446,8$  mm $m = 386$  kg $m = 16937$  kg    (Slab width = 9,750 m) $m = 0$  kg $m = 17323$  kg $S = 9,98$  m<sup>2</sup> $S' = 8,66$  m<sup>2</sup> $M = 203,13$  m<sup>-1</sup> $M' = 176,41$  m<sup>-1</sup> $(b_f t_f)_{\text{max}} / (b_f t_f)_{\text{min}} = 1,00 < 4,50$  $H_t / a_0 = 1,70$      $1,25 < H_t / a_0 < 4,00$  $\beta = a_0 / t_w = 35,13 < 90,00$  $h_w / t_w = 51,70 < 124,0 \varepsilon_w = 100,9$ 

### Position of the beam

The studied beam is an intermediate beam.

Spacing of the beam - to the adjacent left beam :  $L_1 = 8,300$  m- to the adjacent right beam :  $L_2 = 11,20$  m

Width for the calculation of the surface loads supported by the beam :

on the left side :  $d_1 = 4,150$  mon the right side :  $d_2 = 5,600$  mTotal width :  $d_1 + d_2 = 9,750$  m

No slab opening near the beam

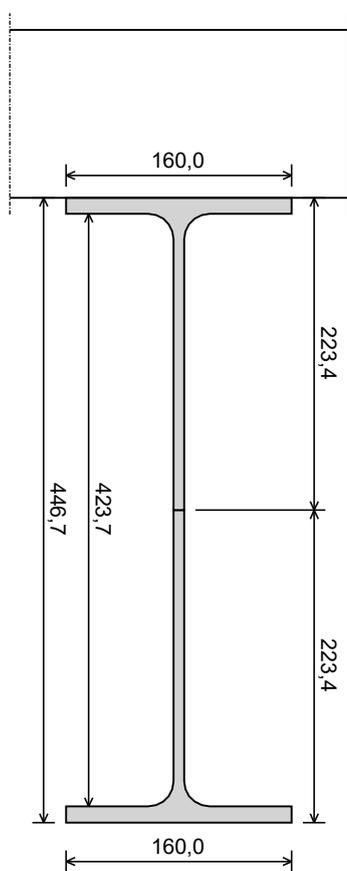
### Lateral restraint

Concentrated lateral restraints :

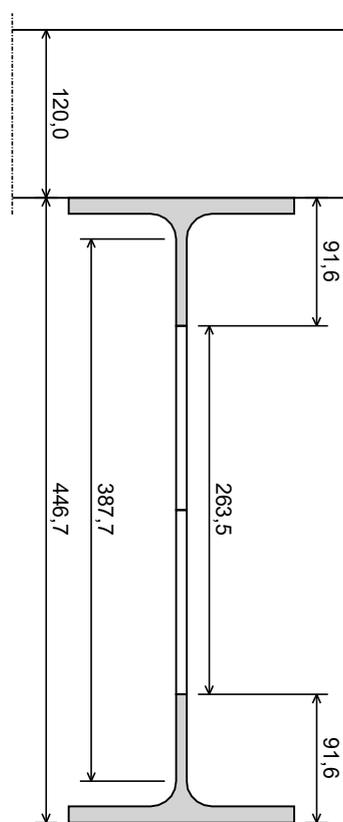
	x (m)	Lateral restraints	
1	0,0	Both flanges	Origin section
2	8,200	Both flanges	End section

## Cross-section

	Upper chord	Lower chord
Base profile	IPE 330	IPE 330
Grade	S355	S355
$h_t$ (mm)	330,0	330,0
$b_f$ (mm)	160,0	160,0
$t_f$ (mm)	11,5	11,5
$t_w$ (mm)	7,5	7,5
$r_c$ (mm)	18,0	18,0



Cross-section at web-post



Cross-section at opening no 1

**ULTIMATE LIMIT STATES - COMPOSITE ACTION STAGE****Note: the calculation method applies to steel rolled profiles only.****Summary of the criteria****Degree of connection**

Minimal degree of connection = 0,496

Most unfavorable degree of connection (Comb. U1) : = 1,16 &gt; 0,496 Satisfactory

S = Satisfactory NS = Not satisfactory

**Checkings of net sections at openings**

Resistance to bending moment (Open. no 1 - Comb. U1) :	$\Gamma_{M,max}$	= 0,267	< 1	S
Resistance to normal force (Open. no 12 - Comb. U1) :	$\Gamma_{N,max}$	= 0,430	< 1	S
Resistance to shear force (Open. no 8 - Comb. U1) :	$\Gamma_{V,max}$	= 0,344	< 1	S
Resistance to M+N interaction (Open. no 7 - Comb. U1) :	$\Gamma_{MN,max}$	= 0,444	< 1	S
Resistance to N+V interaction (Open. no 12 - Comb. U1) :	$\Gamma_{NV,max}$	= 0,430	< 1	S
Resistance to M+V interaction (Open. no 1 - Comb. U1) :	$\Gamma_{MV,max}$	= 0,267	< 1	S
Resistance to M+N+V interaction (Open. no 7 - Comb. U1) :	$\Gamma_{MNV,max}$	= 0,444	< 1	S

**Web checkings**

Shear buckling check required (Post no 22 - Comb. U1) :	$\Gamma_{Vbw,max}$	= 0,151	< 1	S
---	--------------------	---------	-----	---

**Posts checkings**

Resistance to shear (Post no 22 - Comb. U1) :	$\Gamma_{Vh,max}$	= 0,561	< 1	S
Resistance to buckling (Post no 22 - Comb. U1) :	$\Gamma_{b,max}$	= 0,512	< 1	S
Minimum throat thickness (Post no 22 - Comb. U1) :	$a_{min}$	= 1,79 mm		

Warning: the throat thickness is assessed by assuming two welds

The total thickness of welds should be at least 3,57 mm

Warning : the throat thickness of the fillet weld must be at least 3 mm (EC3)

**Gross sections checkings**

Resistance to bending (Post no 12 - Comb. U1) :	$\Gamma_{Mg,max}$	= 0,335 (Classe 1)	< 1	S
Resistance to shear (Left end - Comb. U1) :	$\Gamma_{Vg,max}$	= 0,141	< 1	S



# Předběžné posouzení ocelobetonového průřezu - STROPNICE

## 1. Průřezové charakteristiky

Profil	IPE 400	Ocel	S 235	$f_y$ =	235	MPa
		Beton	C 20/25	$f_c$ =	20	MPa
$A$ =	8446,36 mm <sup>2</sup>	$W_{pl,y}$ =	1307147,6 mm <sup>3</sup>			
$A_{vz}$ =	4269,00 mm <sup>2</sup>	$h$ =	400 mm			
$\gamma_{M0}$ =	1,00					
$\gamma_c$ =	1,50					

## 2. Vnitřní síly

$$V_{Ed} = 133,90 \text{ kN}$$
$$M_{Ed} = 318,02 \text{ kNm}$$

## 3. Geometrie

$$L_1 = 2,50 \text{ m}$$
$$L_2 = 2,50 \text{ m}$$

## 4. Efektivní šířka, poloha N.O.

$$b_{eff} = 0,25 * (L_1 + L_2) \qquad b_{eff} = 1250 \text{ mm}$$

$$b_{eff} * x * \frac{0,85 * f_{ck}}{\gamma_c} = A * \frac{f_{yk}}{\gamma_{M0}} \Rightarrow x = \frac{A * f_{yk} * \gamma_c}{\gamma_{M0} * 0,85 * b_{eff} * f_{ck}}$$

$$x = 140,11 \text{ mm} \leq 70,00 \text{ mm} \qquad \text{N.O. NENÍ V ŽB DESCE}$$

$$z = \frac{h}{2} + 50 + (70 - x) \qquad z = 179,8898 \text{ mm}$$

## 5. Návrhový moment

$$M_{pl,Rd} = A * \frac{f_{yk}}{\gamma_{M0}} * z \qquad M_{pl,Rd} = 357,06 \text{ kNm}$$

## 5. Posouzení MSÚ - moment

$$M_{pl,Rd} \geq M_{Ed} \qquad \boxed{357,06 \text{ kNm} \geq 318,02 \text{ kNm} \quad \text{VYHOVUJE}}$$

## 6. Návrhová únosnost ve smyku

$$V_{pl,Rd} = A_{vz} * \frac{f_{yk}}{\gamma_{M0} * \sqrt{3}} \qquad V_{pl,Rd} = 579,21 \text{ kN}$$

## 7. Posouzení MSÚ - posouvající síly

$$V_{pl,Rd} \geq V_{Ed} \qquad \boxed{579,21 \text{ kN} \geq 133,9 \text{ kN} \quad \text{VYHOVUJE}}$$

# Předběžné posouzení ocelobetonového průřezu - PRŮVLAK

## 1. Průřezové charakteristiky

Profil	IPE 400	Ocel	S 235	$f_y$ =	235	MPa
		Beton	C 20/25	$f_c$ =	20	MPa
$A$ =	8446,36 mm <sup>2</sup>	$W_{pl,y}$ =	1307147,6 mm <sup>3</sup>			
$A_{vz}$ =	4269,00 mm <sup>2</sup>	$h$ =	400 mm			
$\gamma_{M0}$ =	1,00					
$\gamma_c$ =	1,50					

## 2. Vnitřní síly

$$V_{Ed} = 112,73 \text{ kN}$$
$$M_{Ed} = 304,59 \text{ kNm}$$

## 3. Geometrie

$$L_1 = 8,30 \text{ m}$$
$$L_2 = 8,30 \text{ m}$$

## 4. Efektivní šířka, poloha N.O.

$$b_{eff} = 0,25 * (L_1 + L_2) \quad b_{eff} = 4150 \text{ mm}$$

$$b_{eff} * x * \frac{0,85 * f_{ck}}{\gamma_c} = A * \frac{f_{yk}}{\gamma_{M0}} \Rightarrow x = \frac{A * f_{yk} * \gamma_c}{\gamma_{M0} * 0,85 * b_{eff} * f_{ck}}$$

$$x = 42,20 \text{ mm} \leq 70,00 \text{ mm} \quad \text{N.O. JE V ŽB DESCE}$$

$$z = \frac{h}{2} + 50 + (70 - x) \quad z = 277,7981 \text{ mm}$$

## 5. Návrhový moment

$$M_{pl,Rd} = A * \frac{f_{yk}}{\gamma_{M0}} * z \quad M_{pl,Rd} = 551,40 \text{ kNm}$$

## 5. Posouzení MSÚ - moment

$$M_{pl,Rd} \geq M_{Ed} \quad \boxed{551,40 \text{ kNm} \geq 304,59 \text{ kNm} \quad \text{VYHOVUJE}}$$

## 6. Návrhová únosnost ve smyku

$$V_{pl,Rd} = A_{vz} * \frac{f_{yk}}{\gamma_{M0} * \sqrt{3}} \quad V_{pl,Rd} = 579,21 \text{ kN}$$

## 7. Posouzení MSÚ - posouvající síly

$$V_{pl,Rd} \geq V_{Ed} \quad \boxed{579,21 \text{ kN} \geq 112,73 \text{ kN} \quad \text{VYHOVUJE}}$$

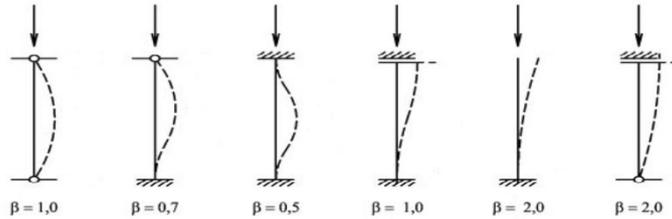
# Předběžné posouzení sloupu na vzpěrný tlak

## 1. Průřezové charakteristiky

Profil	HEB 600	Ocel	S 235	fy=	235	Mpa
A =	26995,78 mm <sup>2</sup>	I <sub>y</sub> =	1,710E+09 mm <sup>4</sup>	I <sub>z</sub> =	1,353E+08 mm <sup>4</sup>	
b =	300,00 mm	W <sub>y</sub> =	5,701E+06 mm <sup>3</sup>	W <sub>z</sub> =	9,020E+05 mm <sup>3</sup>	
h =	540,00 mm	W <sub>pl,y</sub> =	6,425E+06 mm <sup>3</sup>	W <sub>pl,z</sub> =	1,391E+06 mm <sup>3</sup>	
t <sub>w</sub> =	15,50 mm	i <sub>y</sub> =	2,517E+02 mm	i <sub>z</sub> =	7,080E+01 mm	
t <sub>f</sub> =	30,00 mm	I <sub>w</sub> =	1,097E+13 mm <sup>6</sup>	I <sub>t</sub> =	6,672E+06 mm <sup>4</sup>	
r =	27,00 mm	Y <sub>M1</sub> =	1,00	Y <sub>M2</sub> =	1,25	
Y <sub>M0</sub> =	1,00					

## 2. Délka prvku

L <sub>y</sub> =	4050 mm
L <sub>z</sub> =	4050 mm
β <sub>y</sub> =	1
β <sub>z</sub> =	1
L <sub>cr,i</sub> = β <sub>i</sub> L <sub>i</sub>	
L <sub>cr,y</sub> =	4050 mm
L <sub>cr,z</sub> =	4050 mm



## 3. Vnitřní síly

N<sub>Ed</sub> = 5232,23 kN

## 4. Štíhlost

$\lambda_i = \frac{L_{cr,i}}{i_i}$	λ <sub>y</sub> = 1,609E+01	$\bar{\lambda}_y =$	1,714E-01	χ <sub>y</sub> = 1,000
	λ <sub>z</sub> = 5,721E+01	$\bar{\lambda}_z =$	6,092E-01	χ <sub>z</sub> = 0,832
$\lambda_1 = 93,9 \sqrt{\frac{235}{f_y}}$	λ <sub>1</sub> = 93,90			

## 5. Návrhová vzpěrná únosnost tlaččeného prutu

$N_{b,Rd,i} = \frac{\chi A f_y}{\gamma_{M1}}$	N <sub>b,Rd,y</sub> = 6344,01 kN	N <sub>b,Rd</sub> = min(N <sub>b,Rd,y</sub> ; N <sub>b,Rd,z</sub> )
	N <sub>b,Rd,z</sub> = 5278,21 kN	N <sub>b,Rd</sub> = 5278,21 kN

## 6. Posouzení

$\frac{N_{Ed}}{N_{b,Rd,min}} \leq 1,0$

0,991 ≤ 1,0 VYHOVUJE

## Cenové porovnání

Varianta 1							
PLNÝ průřez							
	průřez	délka	množství	kg/m	t	Kč/t	cena
stropnice	IPE 200	25,7	9	22,4	5,18112	24000	124 346,88 Kč
průvlak	IPE 240	22	6	30,7	4,0524	24000	97 257,60 Kč
sloup	HEB 280	23	30	103,1	71,139	24000	1 707 336,00 Kč
cena za typické podlaží							1 928 940,48 Kč

Varianta 2							
PLNÝ průřez							
	průřez	délka	množství	kg/m	t	Kč/t	cena
stropnice	IPE 400	25,7	9	66,3	15,33519	24000	368 044,56 Kč
průvlak	IPE 400	22	4	66,3	5,8344	24000	140 025,60 Kč
sloup	HEB 600	23	14	212	68,264	24000	1 638 336,00 Kč
cena za typické podlaží							2 146 406,16 Kč

PROLAMOVANÝ průřez							
	průřez	délka	množství	kg/m	t	Kč/t	celková cena
stropnice	IPE 330	25,7	9	49,1	11,35683	24000	272 563,92 Kč
průvlak	IPE 330	22	4	49,1	4,3208	24000	103 699,20 Kč
sloup	HEB 600	23	14	212	68,264	24000	1 638 336,00 Kč
cena za typické podlaží							2 014 599,12 Kč

## Závěr

Jak již bylo uvedeno výše, varianta 2 uvažující osově vzdálenosti sloupů od 5 do 11 metrů je příznivým řešením pro druh polyfunkční budovy. Varianta 2 je variabilní, umožňující snadnější a volnější rozmístění dispozic v době užívání stavby i v případě změny jejího využití. Po architektonické stránce interiér působí vzdušným a lehkým dojmem. Z těchto důvodů je nadále řešena varianta 2.

Cenové porovnání předběžného návrhu dvou variant konstrukčního systému ukázal, že cenový rozdíl není tak markantní, aby byl rozhodujícím kritériem. Jelikož byly varianty porovnávány na základě hmotnosti konstrukce a od ní se odvíjející ceny, rozdíl hmotností mezi prvky byl vyrovnán rozdílem počtu prvků v konstrukci. Prolamované nosníky disponují vyšší cenou zahrnující práci vykonanou při dělení a opětovném svaření nosníků do požadované podoby. Nelze však dopředu určit, zda jsou pro danou konstrukci prolamované či plné průřezy nosníků výhodnější. Vhodné řešení závisí na výšce podlaží, typu vedení technického zařízení budov a rozponu nosníků, proto bude konečné řešení navrženo a posouzeno až při definitivním návrhu konstrukčního systému.

Totéž platí pro výběr varianty podepřeného či nepodepřeného nosníku během montáže. Dopředu nelze přesně stanovit způsob montáže, jelikož závisí na rozponu a průhybu nosníku.

Ztužující jádra jsou tvořeny železobetonovými tubusy, jejichž provádění je sice závislé na počasí a prodlužuje dobu výstavby, avšak jsou vhodnější pro vytvoření oblých půdorysných tvarů a zároveň plní funkci protipožární.

